

## BaTiO<sub>3</sub> 세라믹스의 전기저항에 미치는 첨가제와 냉각속도의 영향(I) — TiO<sub>2</sub>, SiO<sub>2</sub> 및 Al<sub>2</sub>O<sub>3</sub> 단미첨가 —

염희남 · 하명수 · 이재춘 · 정윤종

명지대학교 무기재료공학과

(1990년 5월 21일 접수)

### Effect of Additives and Cooling Rates on the Electrical Resistivity of BaTiO<sub>3</sub> Ceramics (I)

— Single Component Systems of TiO<sub>2</sub>, SiO<sub>2</sub> and Al<sub>2</sub>O<sub>3</sub> Additives —

H.N. Youm, M.S. Ha, J.C. Lee and Y.J. Chung

Dept. of Inorganic Materials Eng., Myong Ji University

(Received May 21, 1990)

#### 요 약

BaTiO<sub>3</sub>에 0.25 mol% Dy<sub>2</sub>O<sub>3</sub> 및 0.07 mol% Mn(NO<sub>3</sub>)<sub>2</sub>·6H<sub>2</sub>O를 첨가하여 기본조성으로 하고, 여기에 TiO<sub>2</sub>, SiO<sub>2</sub> 및 Al<sub>2</sub>O<sub>3</sub>를 각각 단미로 첨가. 냉각속도 변화에 따른 미세구조, 상온 비저항 및 온도계수를 조사하였다. TiO<sub>2</sub> 2 mol% 첨가는 Al<sub>2</sub>O<sub>3</sub> 및 SiO<sub>2</sub>와는 달리 결정립의 크기를 억제하는데 효과적이었으며 이 때 상온 비저항 및 온도계수( $\alpha$ )는 10<sup>2</sup> ohm·cm 정도와 16.5%/°C이었다. Al<sub>2</sub>O<sub>3</sub> 첨가일 때 BaTi<sub>3</sub>O<sub>7</sub> 그리고 SiO<sub>2</sub> 첨가의 경우 BaTiSiO<sub>5</sub>가 확인되었다.

#### ABSTRACT

Microstructure, room temperature resistivity and temperature coefficient of resistance of BaTiO<sub>3</sub> ceramics were studied by varying cooling rates and additives such as TiO<sub>2</sub>, SiO<sub>2</sub> and Al<sub>2</sub>O<sub>3</sub>. The basic composition of the BaTiO<sub>3</sub> ceramics was formed by adding 0.25 mol% Dy<sub>2</sub>O<sub>3</sub> and 0.07 mol% MnO<sub>2</sub> to the BaTiO<sub>3</sub> composition. Unlike the additives of SiO<sub>2</sub> and Al<sub>2</sub>O<sub>3</sub>, an addition of 2 mol% TiO<sub>2</sub> to the basic composition was effective to control the grain size of the fired specimens. The room temperature resistivity and the temperature coefficient of resistance for the specimen of this particular composition were measured as about 10<sup>2</sup> ohm·cm and 16.5%/°C, respectively. The observed grain boundary phase of the sample with Al<sub>2</sub>O<sub>3</sub> additive was BaTi<sub>3</sub>O<sub>7</sub>, while that of the samples with SiO<sub>2</sub> additive was confirmed as BaTiSiO<sub>5</sub>.

#### 1. 서 론

강유전체인 BaTiO<sub>3</sub>에 희토류 원소의 산화물을 미량 첨가하여 소결하거나 환원분위기 중에서 소성하여 반도체화시킨 BaTiO<sub>3</sub> 소결체의 결정립은 반도체의 성질을 갖게 되며 결정입체는 절연체를 이루게 된다. 또한 이들은 큐리온도(120°C 부근)에서 저항이 급격히 증가하여 10<sup>3</sup>배 이상으로 증가되는 PTCR(Positive Temperature Coefficient of Resistivity) 현상을 보인다<sup>1)</sup>.

BaTiO<sub>3</sub> 소결체의 결정입체에 대해서 Heywang<sup>2)</sup>은 표면 trap 준위를 생각하여 입체의 격자질함이나 불순물로 인한 에너지 장벽과 BaTiO<sub>3</sub>가 갖는 강유전성으로

부터 PTC 현상을 설명하였다. 현재 결정입체의 트랩준위를 효과적으로 형성시키는 불순물로는 Mn, Cr, Fe 그리고 Cu 등이 알려져 있다<sup>3)</sup>. 이와같은 원소들의 첨가로 인한 trap 준위 현상에 대해 Heywang<sup>2)</sup>은 결정입체에 acceptor level이 형성되기 때문에 설명하였고, Daniels 등<sup>4)</sup>은 V<sub>LL</sub>" 농도가 결정립 내부보다 결정입체에서 높아지는 표면상태의 변화로 설명하였다. 또한 Lewis 등<sup>5)</sup>은 양이온 공극에 의하여 acceptor가 많은 표면이 존재하지만 Ba공극이 우세하지 못하기 때문에 석출에 의하여 입체부근에 n-i-n 형태의 접합이 이루어 진다고 생각하였다. 이들은 barrier layer model을 결정립과 결정입체의 저항 및 정전용량에 의한 간단한 등가회로로

표시하여 미세구조와 전기적 성질의 관계를 설명하였다. Matsuoka 등<sup>6,7)</sup>은 Mn과 같은 다가의 전이금속을 소량 첨가하여 이들 원소가 입체에서 acceptor로 작용하는 효과를 연구하여 PTCR 효과를  $10^7$  정도로 증가시켰다. 한편 Kuwabara<sup>8)</sup>는 Mn을 첨가하지 않고 2~5 μm 정도의 작은 grain을 생성시킴과 동시에 기공율을 높여 입체를 통한 산소의 확산을 증가시키므로서  $10^7$  이상의 PTCR 효과를 얻기도 하였다. 뿐만 아니라 Matsuo 등<sup>9)</sup>은  $\text{Al}_2\text{O}_3$ ,  $\text{SiO}_2$  및  $\text{TiO}_2$ 를 첨가제로 사용하여  $\text{BaTiO}_3$  자기가 불순물을 다소 함유하고 있을지라도 효과적으로 반도체화를 이룰 수 있다고 발표하였다. 즉, 이들은 입체 석출상으로  $\text{Al}$ ,  $\text{Si}$  및  $\text{Ti}$ 가 응집되며 함으로써 반도체화를 저해하는 불순물들이  $\text{BaTiO}_3$ ,  $\text{BaTiSiO}_5$  등과 같은 상에 흡수되도록 하였다.

본 실험에서는 희토류 원소인  $\text{Dy}_2\text{O}_3$ 를 doping시킨  $\text{BaTiO}_3$  자기에 일정량의 Mn을 첨가한 후에 여기에  $\text{TiO}_2$ ,  $\text{SiO}_2$  또는  $\text{Al}_2\text{O}_3$ 를 각각 0.5~4 mol% 단위로 첨가하였을 때 입체에 생성되는 상을 확인하고, 이들과 냉각속도가 PTC의 상온비저항( $\rho_{25}$ )과 온도계수( $\alpha$ )에 미치는 영향을 조사하였다.

## 2. 실험방법

### 2.1. 시편제조

순도 99.5%의 상용  $\text{BaTiO}_3$ (일본, Fuji Titan)를 출발물질로 하고 이밖의 첨가물은 모두 1급 시약을 사용하였다. 기본조성은  $\text{BaTiO}_3$ 에 대하여 0.25 mol%  $\text{Dy}_2\text{O}_3$  및 0.07 mol%  $\text{Mn}(\text{NO}_3)_2 \cdot 6\text{H}_2\text{O}$ 를 첨가한 조성으로 임의 선정하였다. 기본조성에  $\text{TiO}_2$ ,  $\text{SiO}_2$  및  $\text{Al}_2\text{O}_3$ 를 각각 0.5, 2, 3 및 4 mol% 단위로 첨가하여 플라스틱용기에서 습식혼합하였다. 이때 혼합보조제로 에탄올을 사용하였으며 혼합원료, 지르코니아볼 및 에탄올의 중량비가 1:2:1되게 하여 균질혼합을 위하여 전조후 #35체를 통과시킨 과립을 800 Kg/cm<sup>2</sup>의 압력을 가하여 disk(Φ19.5 × 3.5 mm)상으로 만들어 소성하였다. 소성은 승온속도 5°C/min으로 1340°C에서 2시간 유지시킨 후 700°C까지 2, 3, 5, 7 및 8.5°C/min의 냉각속도별로 냉각시켰으며 그 이하온도에서는 자연냉각시켰다. 소성된 시편은 양면에 In-Ga ohmic paste(일본, Murata, GP-7)를 도포하여 500°C에서 20분간 열처리한 것을 측정에 사용하였다.

### 2.2. 측정 및 분석

온도변화에 대한 저항은 digital multimeter(Hewlett Packard, 3475A)로 Fig. 1과 같이 자체 제작한 oil bath

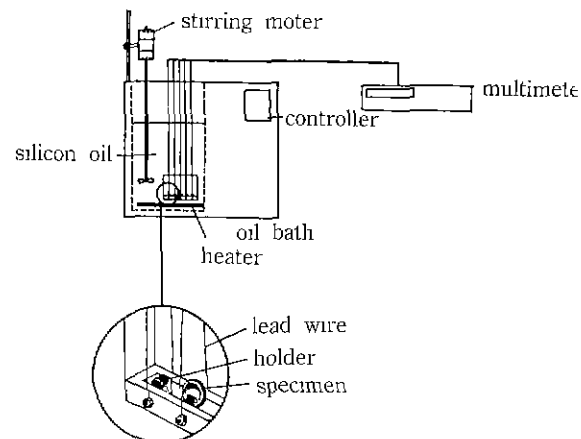


Fig. 1. Measuring equipment of resistivity-temperature characteristics.

속에서 2°C/min의 승온속도로 일정하게 가열하여 10°C 간격으로 측정하였다.

비저항과 온도계수는 다음 관계식을 이용하여 산출하였다.

$$\rho = R \cdot S/T$$

여기서  $\rho$ 는 비저항( $\text{ohm}\cdot\text{cm}$ ),  $R$ 은 측정저항값( $\text{ohm}$ ),  $S$ 는 시편의 전극면적( $\text{cm}^2$ ) 그리고  $t$ 는 시편의 두께( $\text{cm}$ )이다.

또한 온도계수(%/°C)

$$\alpha = (2.303 \log(R_2/R_1)/(T_2/T_1)) \times 100$$

여기서  $R_1$ 은 상온저항값의 2배가 되는 저항값( $\text{ohm}$ ),  $R_2$ 는  $R_1$ 저항값을 갖는 온도( $T_1$ )보다 50°C높은 온도( $T_2$ )에서의 저항값이다.

이밖에도 X-선 회절분석(XRD : Philips, PW 1700 System, Ni-filter, Cu-Kα40 Kv, 25 mA, scan speed 0.04/s, time constant 0.5 sec의 조건) 및 광학현미경(Carlzeiss, D-7082, AX10, Photopol)으로 생성상과 결정립을 확인하였다.

## 3. 결과 및 고찰

### 3.1. $\text{TiO}_2$ 첨가

$\text{TiO}_2$ 가  $\text{BaTiO}_3$ 에 0.5~4 mol% 첨가되었을 때 첨가량 변화에 따른 결정립의 크기변화는 Fig. 2와 같으며 이 때 냉각속도는 모두 5°C/min로 하였다.

0.5 mol%  $\text{TiO}_2$  첨가때의 결정립의 평균크기는 70 μm

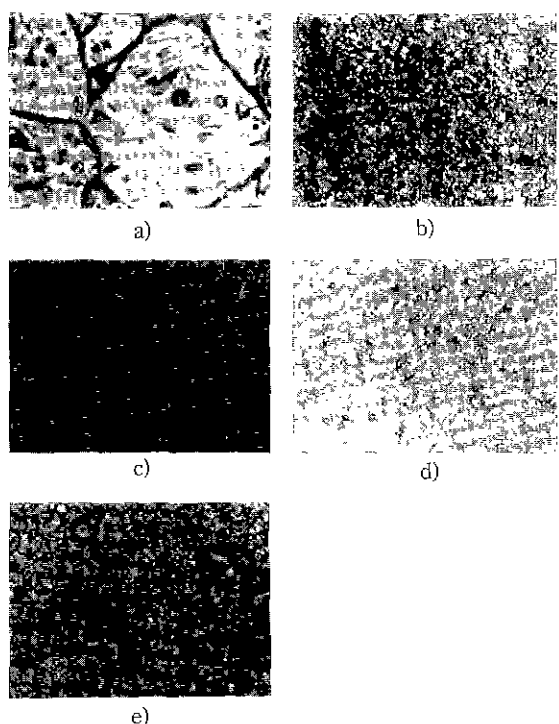


Fig. 2. Photo-micrographs of sintered BaTiO<sub>3</sub> at 1340°C, 2 hrs, as a function of TiO<sub>2</sub> contents (cooling rate 5°C/min).  
 (a) 0.5 mol% (b) 1 mol% (c) 2 mol% (d) 3 mol%  
 (e) 4 mol%

정도였으나 TiO<sub>2</sub>가 1 mol% 첨가되면 그 크기는 갑자기 작아져 2 μm 정도로 입성장이 억제된다. 그러나 이후의 첨가량 증가에 따른 결정립의 크기변화는 거의 없이 균일하게 분포되어 있음을 알 수 있어 상온 비저항이 낮아질 것을 예상할 수 있다.

Fig. 3(a)는 기본조성에 4 mol% TiO<sub>2</sub>를 첨가했을 때 (냉각속도 5°C/min)의 소결시편을 X-선 회절분석 결과이다. Fig. 3(a)의 TiO<sub>2</sub>를 첨가하였을 때는 BaTiO<sub>3</sub> 결정 내로 일부가 고용되었음을 알 수 있다. Matsuoka 등<sup>1)</sup>의 연구결과에 의하면 TiO<sub>2</sub>, SiO<sub>2</sub> 및 Al<sub>2</sub>O<sub>3</sub>를 복합적으로 첨가했을 경우 입계상으로 BaTi<sub>3</sub>O<sub>7</sub>, BaAl<sub>2</sub>Si<sub>2</sub>O<sub>8</sub> 등이 존재함을 알 수 있다. 또한 이들 입계상이 고온에서 perovskite 본체의 일부와 반응하여 액상으로 존재하였다가 냉각과정에서 perovskite상을 입계에 석출시키고 몇 개의 입자가 접촉하여 결정화한 것으로 해석하였다<sup>2)</sup>. Fig. 4는 TiO<sub>2</sub> 첨가량 변화에 따른 상온비저항과 온도계수를 나타낸 결과이다. 그림에서 알 수 있듯이 이 때 냉각속도는 5 및 7°C/min에 대해서만 plot하였으나 대체로 냉각속도

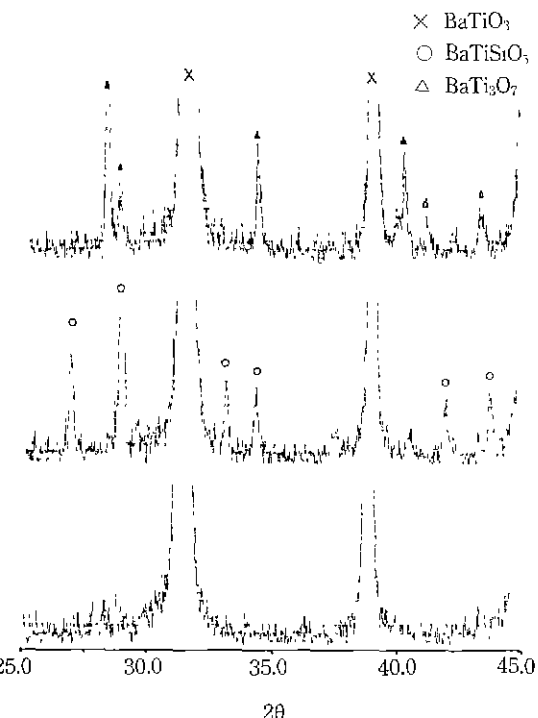


Fig. 3. X-ray diffraction patterns of sintered bodies added 4 mol% (cooling rate 5°C/min)  
 (a) TiO<sub>2</sub> (b) SiO<sub>2</sub> (c) Al<sub>2</sub>O<sub>3</sub>

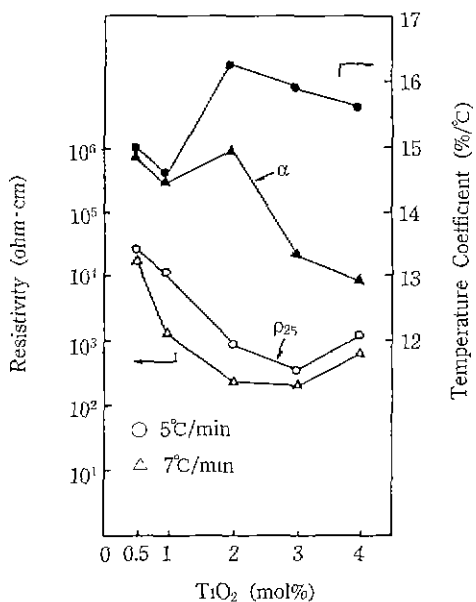


Fig. 4. Variation of room temperature resistivity and temperature coefficient with TiO<sub>2</sub> contents added to BaTiO<sub>3</sub> ceramics.

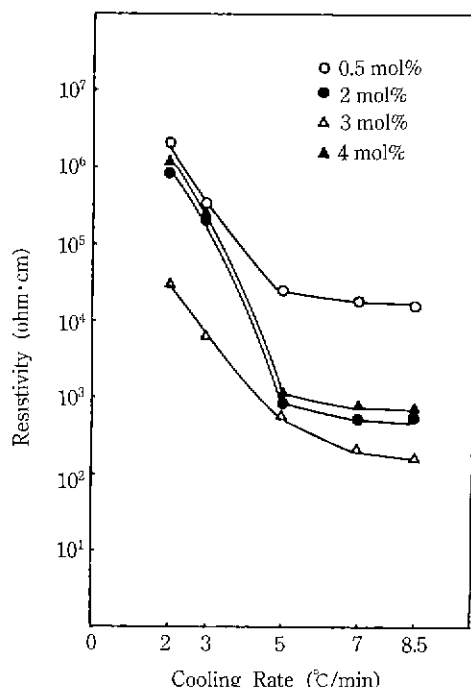


Fig. 5. Variation of room temperature resistivity with cooling rates for  $\text{TiO}_2$  contents added to  $\text{BaTiO}_3$  ceramics.

변화에 따라 상온비저항과 온도계수의 변화경향은 비슷하다. 상온비저항은  $\text{TiO}_2$ 첨가량이 증가함에 따라 감소하여  $\text{TiO}_2$  2~3 mol% 첨가일 때 최소값( $10^2 \text{ ohm}\cdot\text{cm}$ )을 나타낸 후 다시 증가하였다. 또한 온도계수는 이 때 이들 두 냉각조건에서 비슷한 경향을 보여 상온저항이 최소인  $\text{TiO}_2$  2 mol% 첨가에서 최대값을 보였으며 특히 냉각속도를 5°C/min로 하였을 때 16.5%/°C 정도로 높다. 이러한 경향은  $\text{TiO}_2$ 의 첨가량 변화에 따라 2 mol%에서 결정립의 성장이 최대로 억제된 Fig. 2에서 예상될 수 있는 결과와 일치한다.

Fig. 5는 냉각속도 변화에 따라 상온비저항 변화를 나타낸 결과로  $\text{TiO}_2$  첨가량에 관계없이 대체로 냉각속도가 5°C/min일 때 상온비저항은 급격히 감소되며 이후에 냉각속도가 더욱 빨라져 상온비저항의 감소는 일어나지 않았다.

### 3.2. $\text{SiO}_2$ 첨가

$\text{SiO}_2$ 의 첨가량을  $\text{TiO}_2$ 의 경우와 동일한 첨가량 조건인 0.5 mol%로부터 4 mol%로 달리했을 때의 미세구조 변화는 Fig. 6과 같다. 큐리점 이상에서  $\text{BaTiO}_3$  PTC 반도체

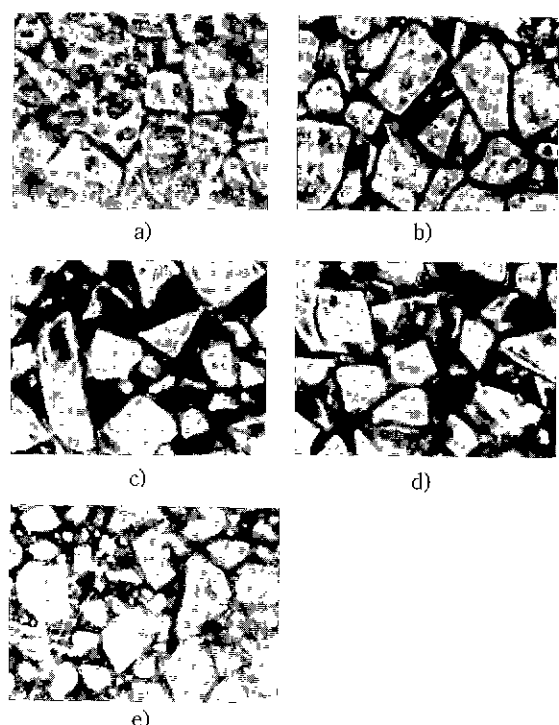


Fig. 6. Photo-micrographs of sintered  $\text{BaTiO}_3$  at 1340°C for 2 hrs, as a function of  $\text{SiO}_2$  contents (cooling rate 5°C/min)  
(a) 0.5 mol% (b) 1 mol% (c) 2 mol% (d) 3 mol%  
(e) 4 mol%

저항의 전압의존성을 적재하기 위해서는 결정립의 크기가 같고 균일할 필요가 있으며 지금까지 입성장을 억제하는 첨가물로  $\text{SiO}_2^{(1)}$  및  $\text{TiO}_2^{(2)}$ 가 알려져 있다.  $\text{SiO}_2$  경우 0.5 mol%정도 첨가일 때 이러한 효과가 있는 것으로 알려져 있으나 본 연구의 첨가량 범위에서는  $\text{SiO}_2$ 의 첨가량이 0.5 mol%로부터 4 mol%로 증가함에 따라  $\text{TiO}_2$  때 나타난 현상인 결정립성장 억제 효과는 없었다. 이 때 입계에 존재하는 상으로는 Fig. 3(b)에서 알 수 있듯이  $\text{BaTiSiO}_5$ 상만이 관찰되었다. Matsuoka 등<sup>(3)</sup>은 입계상  $\text{BaTi}_3\text{O}_7$ 의 Mn 고용량이  $\text{BaTiSiO}_5$ 보다 크다고 보고하였다. 따라서  $\text{SiO}_2$ 첨가의 경우 소결과정에서  $\text{BaTiSiO}_5$ 가 Mn이온의 결정립내 고용을 억제하므로서 PTC구배가 크게되는 효과는  $\text{TiO}_2$  단미첨가일 때와 비교해서 적다고 볼 수 있다. 냉각속도별  $\text{SiO}_2$  변화에 대한 상온비저항은 Fig. 7과 같다. 상온비저항은  $\text{SiO}_2$ 의 첨가량에 관계없이 냉각속도가 빠를수록 감소하는 경향을 보였지만 이 때의 상온비저항값은 대체로 높다.

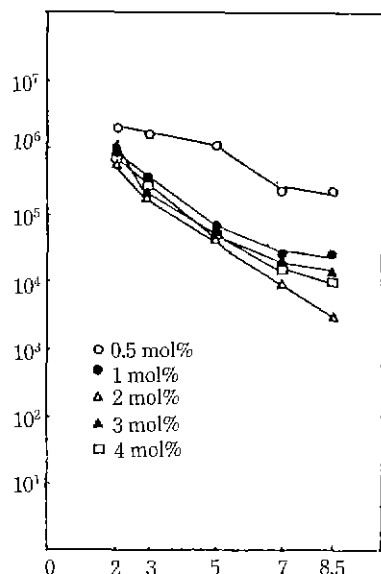


Fig. 7. Variations of room temperature resistivity with cooling rates for SiO<sub>2</sub> contents added to BaTiO<sub>3</sub> ceramics.

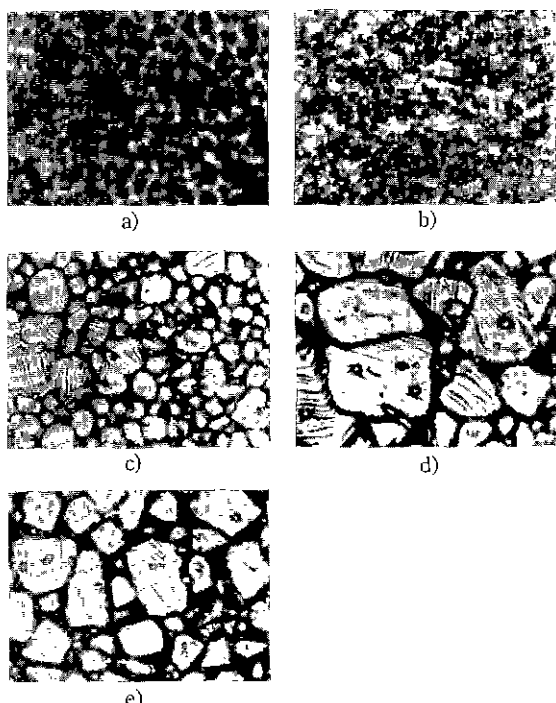


Fig. 8. Photo-micrographs of sintered BaTiO<sub>3</sub> at 1340°C for 2 hrs, as a function of Al<sub>2</sub>O<sub>3</sub> contents (cooling rate 5°C/min).

(a) 0.5 mol% (b) 1 mol% (c) 2 mol% (d) 3 mol%  
(e) 4 mol%

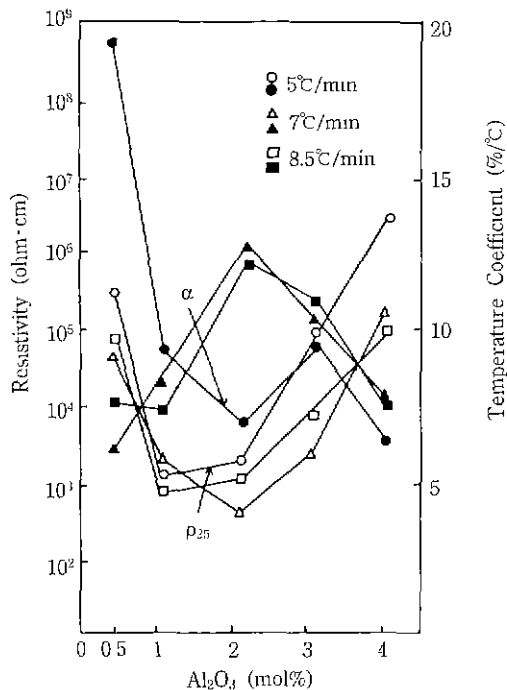


Fig. 9. Room temperature resistivity and temperature coefficients vs. Al<sub>2</sub>O<sub>3</sub> contents added to BaTiO<sub>3</sub> ceramics with various cooling rates.

### 3.3. Al<sub>2</sub>O<sub>3</sub> 첨가

Al<sub>2</sub>O<sub>3</sub> 단미를 앞의 두 경우와 동일하게 첨가했을 때 소결체의 미세구조는 Fig. 8과 같다. Al<sub>2</sub>O<sub>3</sub>첨가량이 0.5 mol%에서 1 mol%로 많아지면 결정립의 크기가 균일하였다. 그러나 3 mol% 첨가에서 입성장이 일어나 결정립의 크기는 커지고 균일하지 못하여 앞의 두 경우의 결과로 미루어볼 때 0.5~1 mol% 첨가에서 상온비저항이 낮고 온도계수가 클 것이 예상된다. Fig. 3(c)에서 알 수 있듯이 이 때 소결체의 입자에서는 BaTi<sub>3</sub>O<sub>7</sub>상만 관찰되었다.

Fig 9는 Al<sub>2</sub>O<sub>3</sub> 단미 첨가량 변화에 따른 상온비저항과 온도계수를 냉각속도별로 나타낸 것이다. 그림에 나타낸 5, 7 및 8.5°C/min 이외의 냉각속도는 상온비저항값이 매우 커서 제외하였다. 그림에서 알 수 있듯이 상온비저항은 Al<sub>2</sub>O<sub>3</sub>의 첨가량이 1 mol%일 때 최소값( $10^3 \Omega\text{cm}$ )을 나타내었으며, 이것은 SiO<sub>2</sub>의 첨가량을 고정하고 Al<sub>2</sub>O<sub>3</sub>첨가량을 변화시킨 Saburi<sup>[10]</sup>의 결과와 비슷한 경향을 나타내어 최적 Al<sub>2</sub>O<sub>3</sub>의 첨가량은 대략 1 mol% 정도임을 알 수 있다. 또한 온도계수 변화는 2 mol%첨가에서 13.5%/°C로 최대값을 나타내었다. 그러나 냉각속도가 비교적 느린 5°C/min일 때 온도계수의 최대값은

$\text{Al}_2\text{O}_3$ 의 첨가량이 3 mol%일 때로 shift되었다.

#### 4. 결 론

$\text{BaTiO}_3$ 에 0.25 mol%  $\text{Dy}_2\text{O}_3$  및 0.07 mol%  $\text{Mn}(\text{NO}_3)_2 \cdot 6\text{H}_2\text{O}$ 를 첨가한 기본조성에  $\text{TiO}_2$ ,  $\text{SiO}_2$  및  $\text{Al}_2\text{O}_3$ 를 각각 단미로 0.5~4 mol%첨가하여 냉각속도 변화에 따른 미세구조를 관찰하고 상온비저항 및 온도계수를 측정한 결과 다음과 같은 결론을 얻었다.

1.  $\text{TiO}_2$ 를 단미로 첨가했을 때 1 mol%부터 결정립의 크기는 2  $\mu\text{m}$ 정도로 급격히 줄어들었으며 입자의 분포가 균일하였다. 결정립의 크기가 가장 작은 2 mol%에서 상온비저항은 최소값을 보였으며 여기서 온도계수( $\alpha$ )가 최대값을 나타냈다. 이 때의 냉각속도는 5°C/min이며 전냉각속도별 변화경향은 비슷하였다.

2. 본 연구의 첨가량 범위에서  $\text{SiO}_2$ 는 결정립 억제에 영향을 주지 못하였으며 상온비저항은 비교적 커다.

3. 전냉각속도에 걸쳐  $\text{Al}_2\text{O}_3$  1 mol%첨가에서 결정립의 크기는 억제되었으며 여기서 상온비저항은 최소값을 나타냈으며, 2 mol%첨가에서 온도계수는 최대값을 보였다.

4. 입계의 상온  $\text{Al}_2\text{O}_3$  첨가일 때  $\text{BaTi}_1\text{O}_7$ ,  $\text{SiO}_2$  첨가의 경우  $\text{BaTiSiO}_5$ 이었다.

#### REFERENCES

1. G. Goodman, "Electrical Conduction Anomaly in Samarium-Doped  $\text{BaTiO}_3$ ," *J Am. Ceram Soc.*, **46**(1), 48-54 (1963).
2. W. Heywang, "Resistivity Anomaly in Doped Barium Titanate," *Ibid.*, **47**(10), 484-490 (1964).
3. H. Ueoka and K. Umeyama, "Semiconducting Barium Titanate Ceramics," *Japanese Pat.* 487, 455, December 27, 1966.
4. J. Daniels, K.H. Hardtl and R. Wernicke, "The PTC Effect of Barium Titanate," *Philips Tech. Rev.*, **38**(31), 73-82 (1978/79).
5. G.V. Lewis and C.R.A. Catlow, "PTCR Effect in  $\text{BaTiO}_3$ ," *J. Am. Ceram. Soc.*, **68**(10), 555-558 (1985).
6. T. Matsuoka, Y. Matsuo, H. Sasaki and S. Hayakawa, "PTCR Behavior of  $\text{BaTiO}_3$  with  $\text{Nb}_2\text{O}_5$  and  $\text{MnO}_2$  Additives," *Ibid.*, **55**(2), 108 (1972).
7. T. Matsuoka, M. Fujimura, Y. Matsuo and S. Hayakawa, "Behaviors of Mn Ion and Grain Boundary in  $\text{BaTiO}_3$  PTCR Semiconductor," *National Tech Rep.*, **21**(3), 329-340 (1975).
8. M. Kuwabara, "Effect of Microstructure on the PTCR Effect in Semiconducting Barium Titanate Ceramics," *J Am. Ceram Soc.*, **64**(11), 639-644 (1981).
9. Y. Matsuo, M. Fujimura, H. Sasaki, K. Nagase, S. Hayakawa, "Semiconducting  $\text{BaTiO}_3$  with Additives of  $\text{Al}_2\text{O}_3$ ,  $\text{SiO}_2$  and  $\text{TiO}_2$ ," *Am. Ceram Soc. Bull.*, **47**(3), 292-297 (1968).
10. M. Fujimura, Y. Matsuo, "High-Performance PTC Thermistor Materials," *National Tech. Rep.*, **25**(5) 898-907 (1979).
11. O. Saburi, "Processing Techniques and Applications of Positive Temperature Coefficient Thermister," *IEEE Trans. Component Parts CP 10*, p 53 (1963).
12. G.H. Jonker, "Grain Size of Sintered Barium Titanate," *Science of Ceramics*, **1**, 255 (Academic Press, Inc, New York) (1962).